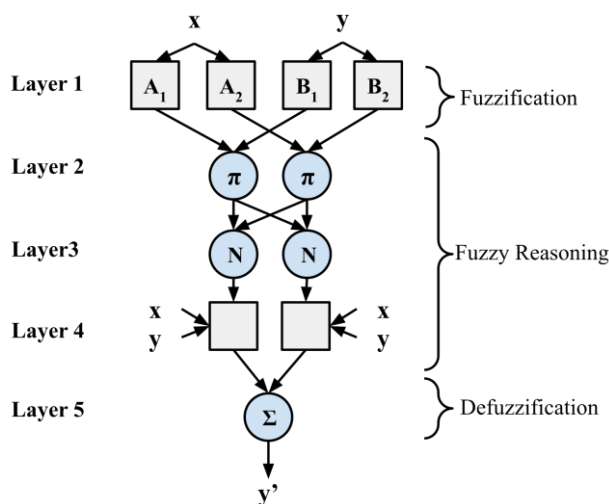


... $f_t \cdot c_{t-1} + i_t \cdot \tanh(C'_t)$...

2.4. ANFIS nonlinear hybrid time series model



... $f_1 = p_1 x + q_1 y + r_1$...

... $f_2 = p_2 x + q_2 y + r_2$...

If x is A_1 and y is B_1 , Then $f_1 = p_1 x + q_1 y + r_1$, v

If x is A_2 and y is B_2 , Then $f_2 = p_2 x + q_2 y + r_2$ w

... $y' = \frac{f_1 \cdot x + f_2 \cdot y}{f_1 + f_2}$...

2.5. Model assessment

... $y_t^{\text{act}} - y_t^{\text{pred}}$...

•f•‡ -t•Š‡• -Šđ‡ ‡...f•-•%• ‡...f•Ž...-Žf-‡‡ f•y•ŠŠ‡‡• ‡f• „•Ž---‡ ‡...‡•-f%•‡f• „‡”...•f•-‡z•ä Š‡ ‘- ‡f• “-f”‡ ”...”•’--f-•••Šä{M•Šđ ‡‡•-f%•‡-‡f• “-f”‡ ””” ”...ffŽ„‡...‘•’-f•‡‡“äsrä Š‡‡^“-”•‡-“...•f••‡•‡•‡“Š‡•^“^”...‘‡^•...‡•-^ ‡‡-‡‡”f•ŠfTM••“äss•-•‡‡-‘...‘•’f”‡-Š‡’‡”^“•f•...‡^ -Š‡••‡‡Ž•ä

$$e_t = y_t - y'_t \quad x$$

$$MAE = \frac{1}{n} \sum_{t=1}^n |e_t| \quad y$$

$$MAPE = \frac{1}{n} \sum_{t=1}^n \left| \frac{e_t}{y_t} \right| \times 100 \quad z$$

$$RMSE = \sqrt{\frac{1}{n} \sum_{t=1}^n (e_t)^2} \quad \{$$

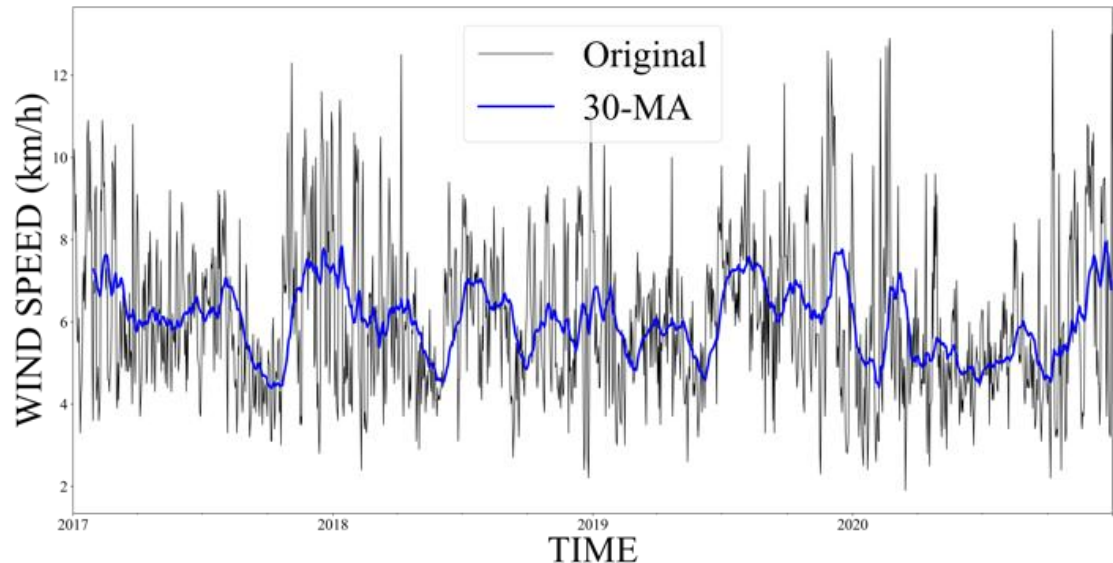
$$\%RMSE = \frac{RMSE}{\bar{y}} \times 100 \quad sr$$

$$R^2 = 1 - \frac{\sum_{t=1}^n (e_t)^2}{\sum_{t=1}^n (y_t - \bar{y})^2} \quad s s$$

3. Experimentation

3.1. Dataset

Š• ‡•‡f”...Š••#•‘ŽŠ%•...fŽ ‡f”f•...ŠŽŽ‡‡• ‡f-f^ -Š‡ Šf<Žf•‡ ‡- ‡’f”-•‡•-ä Š• ‡f ‡f‡‡•’•• ‡Š‡fTM”‡f•-Š‡‡f%•”•-f‡•(•á TMŠ...Š•Ž•Šf<)f’Š-•’”~•...‡á Šf<Žf•‡ä Šf<)f’Š-•(•f-Š‡TM”‡f -Šf”•Šf•fŽf”%•”‡•‡f”...Š•Ž•‡TM••‡‡‡‡f-fá...TMŠ‡‡.Š•f”Š‡f~‡”f%•‡‡f<Ž>TM••‡‡‡^”• -Š‡f”rsy•rtr „‡Ž‡...-Š‡%đf-f^”•r•stfšy” Ž‡f”••%•f•t-ŠŠ‡‡f”•tr•r^”•‡‡Ž‡•-•%•äv•Š•%M• -Š‡ TM••‡‡‡‡f-f^ Šf<)f’Š-•á -•‡‡• -Š•



•%•ä••‡‡‡ ‘^ •-<‡ ‡••tr•%•”fTM•yf•‡ ur ‡f>••’~•%• f~‡”f%•‡~”‡‡•‡•-‡‡ „%•”f> f•‡ „Ž---‡á ”‡•‡...-~‡Ž) ä

Šť ě (f Ž - + ' ^ - Šť " + + f " ... Š (f ' ' ... + • • Ž (• + f - Š - Š " Ž ä " Šť (+ • • + + + f - f - + • f • • # # - Šť + TM (- Š - Šť • Ž (+ (• % TM r + " TM + + + + - ŠŠť (" - + - ^ - Šť • + + - (• f • + Ž) á á á " á Šff • # , # + + + - + + f Ž - + f - Šť % • f • ... + ^ - Šť + + + (+ + + Ž ä Šť ... ' • f (• # - + + + # + Ž • á á f • Šť f - + , # + f Ž - f - + + TM (- Š - Šť • f • + ' ' ' ... + + - + + f • - Šť ' ' ' • + + • + + Ž ä

4. Results and Discussion

4.1. The results

Šť f • • + • • + • - + + + Ž ' ' (• % + f • + + + + Ž ^ " ^ " + ... f • - (• % TM f + + f • Šť + + + (" ~ (Š ... + á Šť (Ž f • + + Šť + ' + " ^ " • f • ... + + + f Ž - f - (• (• + - Š # + + Ž (• • # # " Š) , " (+ • + + % # (• • - f - Šť " Š " # + + + • + + + + Ž ä á á f • + f • + + + ^ • ~ + + f • - " + • + + - (... • ä s f • Šť + + • - Šť + + • - Ž + + Ž ' + + f Ž - f f • + • + + - Šť " Š • % + f - Šť # " # • - Ž - • • ŠŠ TM - Šť • + + Ž) (+ Ž + • á á á " + + f • + + (+ + ...) ^ s ä r x á s z ä y x á s ä v r á t t ä x y á f • + r - Šť (• + • + + # + Ž ' ^ % (~ + + - Šť + + + • % • f • f • + + ^ Ž Ž ' TM + ä s ä r t á ± s y ä z s á ± s ä u v á " ± t s ä y y á ä f v x ä " Šť . f • - (• % ' + " ^ " • f • • • + + ± r ä z z á ± s w ä y s a ± s ä s x á " ± s z ä z t ä ä f r p ž ä f • Šť + + • - Ž - • ^ - Šť • + + Ž + + + - • - Šť á á á " á f • + f Ž - + ä f v y y á s z ä w t r s á s ä u y { s á t t ä u w { z á ä f • + r ä v u w { á

	<i>f</i> „ Ž stä	Šť ě " + + f • - (• % ' + Šť + + f • • + + ' ^	MAE	MAPE	RMSE	%RMSE	R-Square
ARIMA			1.0668	18.7673	1.4006	22.6709	0.4228
ANN			1.0206	17.8113	1.3428	21.7704	0.4653
LSTM			0.8860	15.7191	1.16092	18.8212	0.6003
ANFIS			1.0477	18.5201	1.3791	22.3598	0.4359

Šť + + • - Ž - • ^ ' + " ^ " • f • ... + + + f Ž - f - (• f (• + + Šť + - • + Š Ž TM • á á á " á f • + + ^ (... (+ + ...) ^ s ä s v á t t ä v u á s ä w w á t y ä z r á f • + + r ä v s á + + (+ + + Ž ' ^ % (~ + + - Šť • + - ^ " + • - Ž - • ' + " ^ " • f • ... + ± s ä s { á ± t u t z ä w x á y + + r ä u { ä • + + Ž % (~ + + ^ - Šť + - Ž - • ' + + f • f • • s ä u y á ± t z ä r v á ± t ä r t á " ± u x ä s v á r ä f r p ž ä f • Šť + + • - Ž - • ^ - Šť • + + Ž + + + - • - Šť á á á " á f • + f Ž - + ä f w á t t ä z { á s ä w w á t y ä z s á f • + r ä v s á " + + + - (+ + +

	<i>f</i> „ Ž t ä	Šť ě " + + f • • (• % • + Šť + - + • - • + -	MAE	MAPE	RMSE	%RMSE	R-Square
ARIMA			1.1463	22.4311	1.5561	27.8098	0.4119
ANN			1.1904	23.5462	1.5981	28.5605	0.3797
LSTM			1.3790	28.0452	2.0202	36.1047	0.0088
ANFIS			1.1516	22.8986	1.5566	27.8182	0.4115

4.2. Discussion

" • - Šť ě " ^ " • f • ... + + + - + • - (• % TM) + + - Ž + + + ^ " + ... f • - (• % ^ - Šť + + + " + + + • + + + f • + - Šť - Šť " + + f " f - (+ + • + + Ž ä + + ^ - + + - Šť - + Šť # Ž Š " TM + + (- ^ " + ... f • - (+ + ^ (... (+ + ...) ... ' • f • f f Ž + + Ž (... Šť + + + + + (+ + + + + Šť + + + - Šť • + - f Ž • + - TM • + + Ž • f • + ä Šť ' ' ' • + + • + + Ž Š ' TM • , " - • • + • • - ' - • • , # - f + Šť + Šť f • + + + Ž Š (• , # ... f • - + + - Šť • + + Ž • + + + • - ' + + ^ (+ + - Šť " " f " f f # + + Ž) • á , # + + + " - • • (• % - Šť • + + Ž ä

Šť + + • - Ž - • Š TM - Š TM (- ŠŠ + + f • + • % • • + + + + f - f ^ - Šť • + + Ž (• - Šť • + + % " - ' + " ^ " • • , # - - + + - Šť f • + + Š Ž ä - Š + Ž + + (+ + Ž - Š + % - + + - - á • Š # - + f Ž - f

• † – TM “ ” • • † \$ Ž Ž “ TM † ” ^ “ ” † ... f • – ‹ ‹ % ′ † ” ^ “ ” • f • ... f † Ž ‹ Š f • † ” Š † † • • f † Ž ‹ f • TM Š Š † Š • †

• † – ” f Ž • † – TM “ ” • • † † Ž • ~ † † † – ä • % † † ... f • „ † ‘ „ ~ ‹ — • Š † † † † † Ž Š f – •

... † ^ ‹ ... † † – ^ † † – † ” ‹ ‹ f – ‹ • ~ f Ž • • † † ^ ä r f a + f z z ‹ • – Š †

‘ ... ‘ • • † † – Š † f • † Š † – Ž † f ” ‹ ‹ % ” ” ‘ ... † • • ^ – Š † ” ” ‘ ‘ † † • • Ž ‹ † f ” Š ‹ „ † † † •

... ‘ • ’ f ” f – ‹ ~ † • † † Ž ‹ • – Š † • † – ” f Ž • † – TM “ ” f • „ † Š “ TM ä – Š † – † Š † Ž ” ‘ ‘ • † † • † † Ž

Ž † f ” ‹ ‹ % † † ^ ‹ ... † † ... † ^ f „ — s r r – ‹ † • ^ f • – † ” – Š † f • f – Š † Ž † † • Š † f Ž † Ž † Š TM

• † – ” f Ž • – ” ^ ... ä • % Š ‘ TM • Ž † Š † † † % “ ” • f • ... † ‘ ^ – Š † • † † Ž f • † ... ‘ • ’ f ” f –

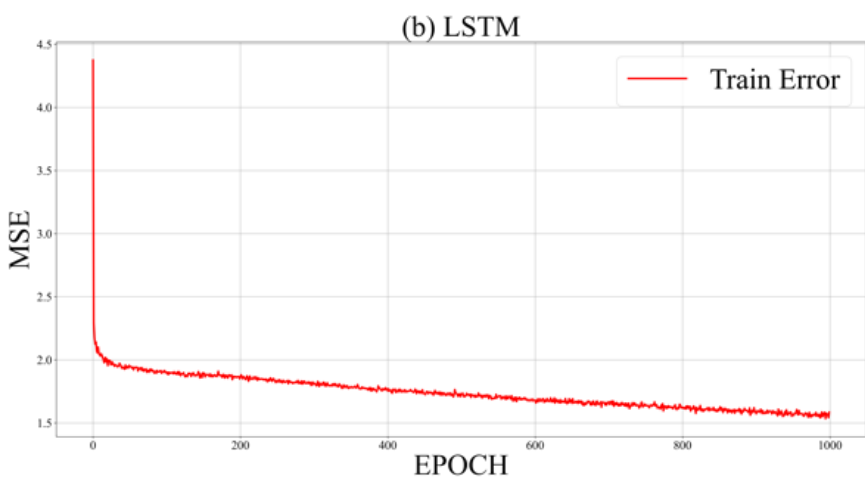
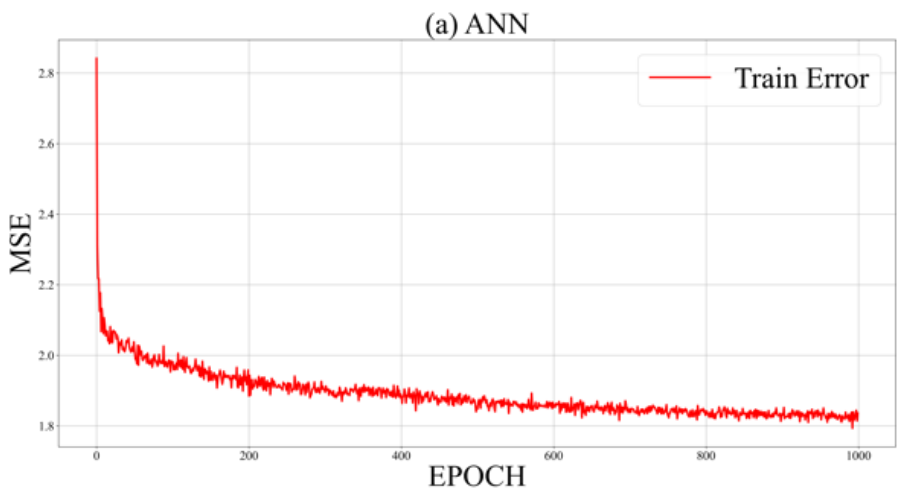
Š † • † † Ž .. Š † † † f Ž † † ” ‹ ‹ % „ † .. ” f ” – † – Š † Š f • ‹ ‹ ‹ f Ž ‹ ‹ † † Š † † ” f ”

– Š † ^ – ‹ ‹ † f ” – Ž † Ž – ‘ • • – „ – ” f ... – ‹ † ... Ž – – † † ‹ ‹ % f Ž % ′ ‹ ‹ Š Š • ^ ‹ † † – Š † † – ‹ ‹ %

^ ^ – ” • † † Ž • ... ‘ • ’ f ” † † – † † Š † † f • f • Ž – † Ž ‹ ‹ „ % ” f ’ Š ‹ . ä y f a Ž Ž ‹ • Š ‘ TM • ‹ ‹ %

f „ Ž † u ä Š † • — „ † ” ^ — ‹ ‹ % ′ f ” f • † – † ” • f • † – ‹ † ... ‘ • • — • ’ – ‹ ‹ • ^ – Š †

	Number of Parameters	Number of Neural Nodes	Time Consumption (Seconds)
ANN	17,153	256	1106.2978
LSTM	66,689	128	1901.3514
ANFIS	20 with 2 fuzzy rules	22	9.4320



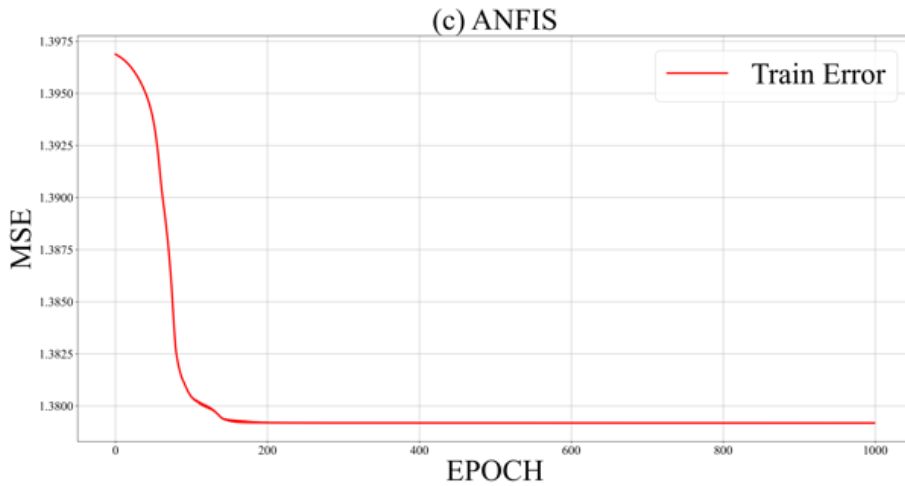


Figure 5(c) illustrates the training error of the ANFIS model. The error starts at a high value of approximately 1.3975 and converges to a stable value of about 1.3800 within the first 100 epochs, indicating rapid learning and convergence.

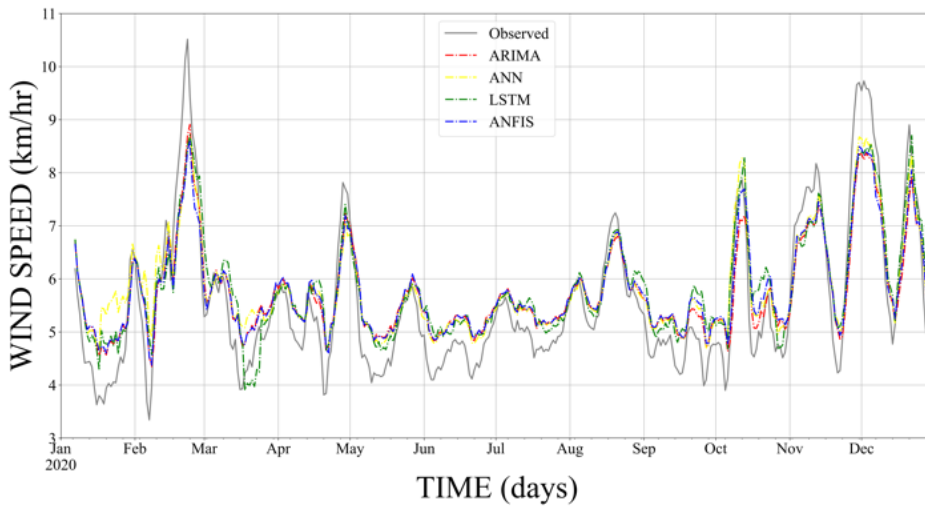


Figure 5(d) displays the monthly wind speed data for 2020, comparing observed values with predictions from ARIMA, ANN, LSTM, and ANFIS models. The ANFIS model (blue dashed line) demonstrates the most accurate prediction, closely following the observed wind speed (black solid line) throughout the year.

5. Conclusion

The study compares the performance of four models: ARIMA, ANN, LSTM, and ANFIS in predicting wind speed. The ANFIS model consistently outperforms the other models, showing the lowest training error and the highest correlation with observed data. This suggests that ANFIS is a more effective model for wind speed prediction in this context.

The results indicate that ANFIS is a more accurate and reliable model for wind speed prediction compared to ARIMA, ANN, and LSTM. The ANFIS model's ability to capture the underlying patterns in the data leads to more precise forecasts. This finding is significant for applications requiring accurate wind speed predictions, such as weather forecasting and renewable energy management.

